

УДК 666.61

**О.Ю. Федоренко, Л.О. Білостоцька, К.Б. Богданова, К.С. Полухіна, Л.В. Павлова**

## ПОВЕРХНЕВЕ ЗАБАРВЛЕННЯ РОЗЧИНАМИ СОЛЕЙ ЩІЛЬНОСПЕЧЕНИХ КЕРАМІЧНИХ МАТЕРІАЛІВ

**Національний технічний університет «Харківський політехнічний інститут»**

Охарактеризовані закономірності поверхневого забарвлення клінкерних керамічних виробів при просочуванні їх розчинами солей металів Co, Mn і Cu. Показано, що інтенсивність забарвлення кераміки обумовлена переважно видом хромофору (катіона металу), а також складом і розчинністю солей, способом нанесення розчину та складом пічного середовища. Встановлено, що забарвлення поверхні клінкерної кераміки зумовлено формуванням при випалі виробів за температури 1070°C шпінелеподібних фаз  $\text{CoFe}_2\text{O}_3$ ,  $\text{MnFe}_2\text{O}_3$ ,  $\text{CuFe}_2\text{O}_3$ . Показано, що кристалічні новоутворення сприяють ущільненню та зміцненню поверхневого шару, про що свідчить підвищення показників мікротвердості на 15–20%. Аналіз координат колірності темнозабарвлених зразків кераміки, визначених в системі  $CIE-L^*a^*b^*$  показав, що колір сприймається як дійсно чорний якщо показник світлоти  $L < 10\%$ ; якщо ж  $L \geq 10\%$ , то візуально розрізняються відтінки: чорно-коричневий, димчасто-чорний, чорно-оливковий. Для одержання клінкерних виробів насиченого димчасто-чорного кольору рекомендовано просочування поверхні висушених напівфабрикатів насиченими розчинами солей  $\text{MnCl}_2 \cdot 4\text{H}_2\text{O}$ ,  $\text{Co}(\text{NO}_3)_2$  або  $\text{Co}(\text{NO}_3)_2 \cdot 6\text{H}_2\text{O}$  та здійснення випалу виробів в умовах відновлюваного середовища.

**Ключові слова:** клінкерна цегла, поверхневе забарвлення, шпінелідні фази, зміцнення лицьової поверхні, відновлювальне середовище, координати колірності.

**DOI:** 10.32434/0321-4095-2018-121-6-139-147

### **Вступ**

Клінкерна керамічна цегла є одним з найбільш затребуваних високоестетичних та екологічно безпечних виробів для будівельної індустрії та вважається матеріалом «еліт»-класу, який асоціюється з надійністю, довговічністю та індивідуальністю. Клінкерна цегла широко використовується для оздоблення фасадів будівель, облаштування доріг, тротуарів і площ. Її використання дозволяє вирішити найсміливіші дизайнерські рішення за рахунок різноманітності кольорів, фактури поверхні і типорозмірів виробів. Значна конкуренція на ринку клінкерних керамічних матеріалів змушує виробників приділяти увагу поліпшенню фізико-механічних і естетико-споживчих властивостей продукції. Тому освоєння виробництва нових видів клінкерної продукції та розширення кольорової гами виробів є необхідною умовою конкурентоздатності продукції. Закономірності формування мікроструктури і фазового складу клінкерної

кераміки у взаємозв'язку з особливостями виробничого процесу розглянуті в роботі [1]. Для забарвлення керамічної цегли використовують такі прийоми:

- при об'ємному забарвленні до складу маси вводиться барвний компонент, що містить сполуки переходних металів (переважно оксиди  $\text{Fe}_2\text{O}_3$ ,  $\text{MnO}_2$ ,  $\text{Cr}_2\text{O}_3$ ,  $\text{TiO}_2$  тощо). Такий прийом вимагає ретельного усереднення технологічної суміші задля рівномірного забарвлення виробів. Колір і відтінок випаленої цегли залежить від складу забарвлюючого компонента та умов випалу (складу пічної атмосфери, температури та тривалості) [2–4];

- при поверхневому забарвленні кольору набувають лише зовнішні стороні виробу.

Існує кілька методів реалізації забарвлення керамічної цегли з поверхні. Один з них полягає у виготовленні двошарових виробів шляхом нанесення на поверхню бруса шару забарвленої маси завтовшки 3–6 мм [5]. Виготовлення дво-

шарової цегли є складним і трудомістким процесом, який вимагає застосування технологічного спеціального обладнання для приготування і нанесення на брус забарвлюючої маси, що містить оксиди мангану, хрому, кобальту, феруму або спеціальні керамічні пігменти. Головна проблема полягає в сумісності мас лицьового і основного шарів і забезпечені їх міцного зчеплення при формуванні. Як наслідок, така цегла відрізняється порівняно низькою ударною міцністю та схильністю до відшаровування верхнього пласти за умов кліматичних навантажень.

Окремо розглядається також метод торкретування цегли, на лицьову поверхню якої наносять скляну або кварцову крихту. Втім цей спосіб забарвлення не знайшов широкого застосування у виробництві внаслідок недовговічності декоративного шару виробів при експлуатації [5].

Більшість методів поверхневого забарвлення передбачають просочення поверхні глиняного бруса або сухого напівфабрикату розчинами солей перехідних металів, нанесенням на поверхню випаленої цегли органо-силікатних плівок та полімерних фарб або ж впровадженням в поверхневий шар виробів барвних сполук в процесі випалу шляхом подачі їх в топку і протягування крізь садку пічними газами [6,7]. Нанесення органо-силікатних і полімерних фарб на готові вироби не забезпечує тривалого декоративного ефекту через недостатню світостійкість і часткову втрату кольору. Забарвлення виробів шляхом введення кольоротвірних сполук безпосередньо до печі є досить складним у реалізації, адже пов'язано з труднощами управління процесом кольороутворення та забрудненням навколошнього середовища та вимагає використання спеціально обладнаної періодичної печі [7–9].

Для поверхневого забарвлення напівфабрикатів розчинами солей також необхідним є включення до технологічної лінії пристройів для просочення напівфабрикату. Втім цей метод вважається більш технологічним і ефективним, оскільки виробництво цегли може бути організовано без кардинальної перебудови технологічної лінії виробництва та не викликає збільшення тривалості технологічного циклу виробництва. Крім того цей прийом дозволяє підвищити міцність цегли, надати їй стійкості до дії вологи і хімічних речовин [7].

На підставі аналізу опублікованих джерел щодо застосування різних способів забарвлення та декорування керамічної цегли, можна зроби-

ти висновок, що розглянуті способи мають суттєві недоліки як з точки зору технологічності та ефективності тривалого ефекту, так і з боку економічної доцільності. Це обумовлює актуальність опрацювання технології поверхневого забарвлення керамічної цегли розчинами водорозчинних солей.

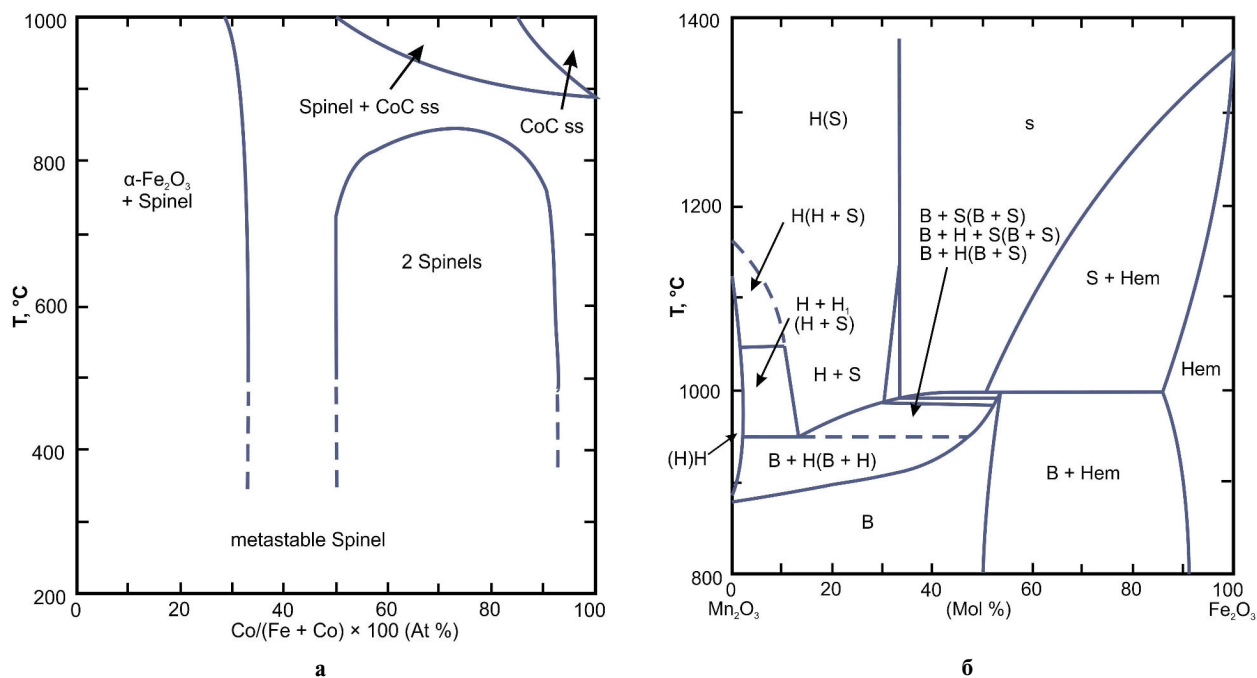
Метою даної роботи є встановлення закономірностей забарвлення керамічної клінкерної цегли шляхом просочування розчинами солей, що містять іони перехідних металів для одержання виробів чорного кольору.

#### **Теоретична частина**

В даному дослідженні для забарвлення поверхні керамічного клінкеру використовували водорозчинні хлориди, нітрати і сульфати перехідних металів ( $\text{Co}^{2+}$ ,  $\text{Mn}^{2+}$  і  $\text{Cu}^{2+}$ ), як водні, так і безводні. В якості керамічної основи розглядали червоновипальну легкоплавку глинисту сировину, що містить значну кількість  $\text{Fe}^{2+}$ ,  $\text{Fe}^{3+}$  у формі оксидів (~5%). Така комбінація іонів дозволяє припустити можливість утворення під час випалу залізистих шпінелей ( $\text{Co}_3\text{O}_4$ ,  $\text{Mn}_3\text{O}_4$ ,  $\text{Cu}_3\text{O}_4$ ), як кольоротвірних сполук, здатних забезпечити одержання виробів чорного кольору.

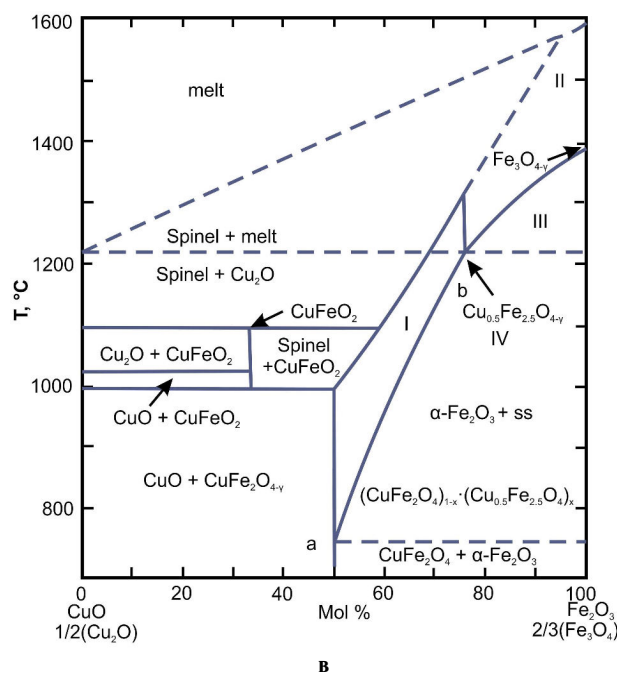
Як відомо, в бінарних системах солей перехідних металів і оксидів феруму утворюються шпінелідні сполуки типу ферошпінелей, які належать до класу складних оксидів із загальною формулою  $\text{AB}_2\text{O}_4$ , де  $\text{A} = \text{Co}, \text{Mn}, \text{Cu}$ ;  $\text{B} = \text{Fe}^{3+}$ ,  $\text{Fe}^{2+}$  [10]. За даними авторів [11] ці сполуки являють собою систему твердих розчинів з широко розвиненим ізоморфізмом катіонів  $\text{A}$  і  $\text{B}$ . Залежно від вмісту переважаючого катіона  $\text{B}$  розрізняють алюмошпінелі, ферошпінелі, хромошпінелі, титаношпінелі тощо. Шпінелі кристалізуються в кубічній сингонії, утворюючи таким чином октаедричні кристали. Усі шпінелі відрізняються високою твердістю (6–8 за шкалою Мооса), термічною і хімічною стійкістю.

На рис. 1 наведені ділянки існування шпінелей в системах оксидів  $\text{CoO}-\text{Fe}_2\text{O}_3$ ,  $\text{Mn}_2\text{O}_3-\text{Fe}_2\text{O}_3$ ,  $\text{CuO}-\text{Fe}_2\text{O}_3$  згідно з результатами роботи [11]. Дані рис. 1,а свідчать, що в системі  $\text{CoO}-\text{Fe}_2\text{O}_3$  утворюється безперервний ряд твердих розчинів  $\alpha\text{-Fe}_2\text{O}_3$  і  $\text{CoO}$ , що мають структуру шпінелі. Якщо вміст  $\text{CoO} \leq 30\%$ , за температури  $> 500^\circ\text{C}$  утворюється шпінель складу  $\text{CoFe}_2\text{O}_4$  і гематит. Якщо ж вміст  $\text{CoO}$  складає 50% або більше, то за температури 800–860°C формуються дві шпінельні фази, які взаєморозчиняються, утворюючи однорідне шпінельне поле. При цьому термічна стабільність шпінелі зростає зі збільшенням вмісту  $\text{Fe}_2\text{O}_3$ .



$\alpha\text{-Fe}_2\text{O}_3$  – гематит;  $\text{Spinel} + \text{CoO}_{ss}$  – шпінель, збагачена кобальтом+твірдий розчин ( $\text{Co}, \text{Fe}\text{O}$ );  $\text{CoO}_{ss}$  – твірдий розчин на основі кобальту

$\text{H(S)}$  – шпінель зі структурою гаусманіту;  $\text{H}_1$  – шпінель схожа на гаусманіт з більш викривленими тетрагональними кристалами;  $\text{S}$  – шпінель;  $\text{Hem}$  – гематит;  $\text{B}$  – біксбіїт ( $\alpha\text{-Mn}_2\text{O}_3$  твірдий розчин)



I, II – ділянки твірдих розчинів зі структурою шпінелі; III – твірдий розчин  $(\text{Cu}_{0.5}\text{Fe}_{2.5}\text{O}_4)_x + (\text{Fe}_3\text{O}_4)_{1-x} + \alpha\text{-Fe}_2\text{O}_3$  гематит; IV –  $\alpha\text{-Fe}_2\text{O}_3$  і  $(\text{CuFe}_2\text{O}_4)_{1-x} \cdot (\text{Cu}_{0.5}\text{Fe}_{2.5}\text{O}_4)_x$  твірді розчини

Рис. 1. Діаграми стану ферошпінелей в системах: а –  $\text{CoO}-\text{Fe}_2\text{O}_3$ ; б –  $\text{FeO}-\text{MnO}_3$ ; в –  $\text{CuO}-\text{Fe}_2\text{O}_3$  за даними [11]

В системі  $MnO-Fe_2O_3$  дисоціація  $Mn_2O_3$  відбувається вже за температури  $900^{\circ}C$ , однак з підвищенням вмісту  $Fe_2O_3$  підвищується до  $1000^{\circ}C$ . При зростанні температури понад  $1000^{\circ}C$  утворюється шпінельна фаза  $MnFe_2O_4$ , стійка до температури  $1600^{\circ}C$ . За температури нижче  $1000^{\circ}C$  присутній переважно твердий розчин біксбіту і гаусманіту (рис. 1,б).

В системі  $CuO-Fe_2O_3$  за температури вище  $1000^{\circ}C$  починається термічна дисоціація оксидів купруму і феруму. В системі існують три хімічні сполуки:  $CuFe_2O_4$ ,  $CuFeO_2$  і  $Cu_{0,5}Fe_{2,5}O_4$  та виявлено область твердих розчинів зі структурою шпінелі (рис. 1,в).

Таким чином, теоретичні дослідження систем фазоутворюючих оксидів  $MeO-Fe_2O_3$  ( $MeO=CuO$ ,  $CoO$ ,  $MnO$ ) свідчать про те, що поверхневе забарвлення клінкерних керамічних виробів можливе за рахунок спрямованого синтезу ферошпінелей ( $CuFe_2O_4$ ,  $CoFe_2O_4$ ,  $MnFe_2O_4$ ), а також шпінелеподібних твердих розчинів, які є продуктами взаємодії оксиду феруму, що міститься в глинистій сировині та катіонів солей вищевказаних металів. Вказані кольоротвірні сполуки утворюються за температур 1050– $1100^{\circ}C$ , що відповідає температурі випалу клінкерної цегли.

#### **Методи дослідження**

Фізико-механічні та експлуатаційні властивості зразків клінкерної кераміки (уявну щільність, водопоглинання, загальну лінійну усадку, міцність на стиск і згин, морозостійкість та зносостійкість) визначали за стандартними методиками згідно з діючими ДСТУ та міжнародними стандартами ISO.

Фазовий склад зразків досліджували із заспособуванням дифрактометра ДРОН-3М з  $CuK_a$ -випромінюванням та нікелевим фільтром за стандартних умов його роботи.

Характеристики колірності поверхні зразків визначали на приладі *Chroma Meter CR-410* під кутом нагляду  $2^{\circ}$  при денному свіtlі (*Lichtart C*). Координати колірності надавали у системі  $CIE-L^*a^*b^*$ , яка відображає універсальний кольоровий простір в декартових координатах і на сьогодні вважається світовим стандартом при оцінюванні забарвлення речовин та матеріалів [12].

В кольоровій системі  $CIE-L^*a^*b^*$  значення світлоти відокремлено від значення хроматичної складової кольору (тон, відтінок). Згідно з цією системою координата  $L^*$  позначає світлоту, яка обумовлює інтенсивність, яскравість та насиченість кольору. Координата  $a^*$  позначає область кольорового спектра від червоного до зеленого (Red (+100)–Green (-150)), а координата  $b^*$  – область кольорового спектра від синього до жовтого (Blue (-100)–Yellow (+150)).

Мікротвердість зразків визначали на приладі ПМТ-3 методом індентування алмазної піраміди з кутом при вершині  $136^{\circ}$  і наступного розрахунку значення мікротвердості за розмірами відбитків піраміди на поверхні зразка. Навантаження на індентор складало 200 г, час витримування при вдавлюванні 6 с. Похибка досліду при вимірюванні мікротвердості на ПМТ-3 складає  $\pm 5\%$  [13].

#### **Експериментальна частина**

Дослідження здійснювали на зразках ТОВ «Керамейя», провідного вітчизняного виробника клінкерної цегли. Основною глинистою сировиною для виробництва керамічного клінкеру є полімінеральна червоновипальна глиниста сировина Верхньосируватського родовища, хімічний склад якої надано в табл. 1.

Для виготовлення клінкерних виробів готували сировинну суміш, до якої матеріали входили у співвідношенні суглинок:глина темно-бура:глина червоно-бура=0,8:1,0:1,0. Після перемішування сировинну суміш зволожували до 20%. Після вилежування керамічної маси впродовж 3 діб виготовляли зразки у вигляді кубів з довжиною сторони 50 мм. Отримані зразки, частину з яких висушували до залишкової вологості не більше 1%, використовували як основу при опрацюванні технології поверхневого забарвлення клінкерної кераміки розчинами солей.

Для оцінки забарвлюючої дії солей передхідних металів за температури  $20^{\circ}C$  готували насичені водні розчини сполук:  $CuCl_2$ ,  $MnSO_4$ ,  $MnCl_2 \cdot 4H_2O$ ,  $Ni(NO_3)_2 \cdot 6H_2O$ ,  $Co(NO_3)_2$ ,  $CoCl_2 \cdot 6H_2O$ ,  $Co(NO_3)_2 \cdot 6H_2O$ ,  $CoSO_4 \cdot 7H_2O$ , відомості щодо розчинності яких подано в табл. 2.

Нанесення розчинів шляхом просочування впродовж 60 с здійснювали як на висушені

Таблиця 1

Хімічний склад глинистої сировини Верхньосируватського родовища

| Сировина           | Вміст оксидів за хімічним аналізом, мас. % |           |           |         |       |       |         |        |        |
|--------------------|--|-----------|-----------|---------|-------|-------|---------|--------|--------|
|                    | $SiO_2$                                    | $Al_2O_3$ | $Fe_2O_3$ | $TiO_2$ | $CaO$ | $MgO$ | $Na_2O$ | $K_2O$ | в.п.п. |
| Суглинок           | 69,7                                       | 10,6      | 3,65      | 0,87    | 5,4   | 0,71  | 0,9     | 1,97   | 6,2    |
| Глина темно-бура   | 67,4                                       | 13,85     | 6,3       | 0,93    | 1,37  | 0,84  | 0,9     | 2,0    | 6,41   |
| Глина червоно-бура | 67,01                                      | 14,03     | 6,5       | 0,92    | 1,67  | 0,82  | 0,92    | 1,89   | 6,24   |

Таблиця 2

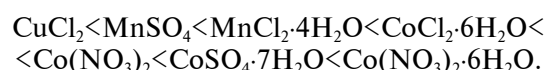
## Розчинність дослідних солей у воді згідно з даними [14]

| Найменування солі                                    | Розчинність солі (г/100 г води) за температури |       |      |      |      |    |       |    |      |
|--|--|-------|------|------|------|----|-------|----|------|
|  | 20   | 30    | 40   | 50   | 60   | 70 | 80    | 90 | 100  |
| Ni(NO <sub>3</sub> ) <sub>2</sub> ·6H <sub>2</sub> O | 48,5   | 51,3  | 54,3 | 58,2 | 61,2 | —  | 65,5  | —  | 69,2 |
| MnSO <sub>4</sub>                                    | 38,6   | —     | 40,4 | —    | —    | —  | —     | —  | —    |
| Co(NO <sub>3</sub> ) <sub>2</sub>                    | 49,3   | 52,7  | 55,9 | —    | —    | —  | —     | —  | —    |
| CoCl <sub>2</sub> ·6H <sub>2</sub> O                 | 34,6   | 37,4  | 41,0 | 46,2 | —    | —  | —     | —  | —    |
| CuCl <sub>2</sub>                                    | 42,2   | —     | 44,7 | 45,0 | —    | —  | 49,8  | —  | 54,6 |
| Co(NO <sub>3</sub> ) <sub>2</sub> ·6H <sub>2</sub> O | 97,3   | 111,4 | —    | —    | —    | —  | 211,0 | —  | —    |
| MnCl <sub>2</sub> ·4H <sub>2</sub> O                 | 42,5   | 44,7  | 47,0 | 49,5 | —    | —  | —     | —  | —    |
| CoSO <sub>4</sub> ·7H <sub>2</sub> O                 | 26,5   | 29,6  | 32,8 | —    | —    | —  | —     | —  | —    |

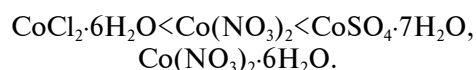
напівфабрикати, так і на сирець. Після просочування зразки висушували в сушильній шафі до залишкової вологості не більше 2% та піддавали випалу за температури 1070°C в умовах слабкоокислювального та відновлювального пічного середовища. Одержані зразки клінкерних виробів відповідали вимогам ДСТУ Б В.2.7-245:2010 до клінкерної цегли та характеризувались наступними властивостями: уявна щільність  $\rho_{\text{уяв}}=2000 \text{ кг}/\text{м}^3$ ; загальна лінійна усадка 9,8%; водопоглинання 4,0%; міцність на стиск 37,5 МПа; міцність на згин 5,7 МПа; зносостійкість 0,06 г/см<sup>2</sup>; морозостійкість понад 150 циклів.

Порівняльний аналіз зразків, для яких просочування розчинами солей відбувалось на різних етапах виготовлення, показав, що з точки зору інтенсивності забарвлення переважним є нанесення розчину на висушений напівфабрикат, оскільки такий спосіб збільшує товщину забарвленого шару до ~2,0–2,5 мм. При нанесенні розчину солі на сирець глибина забарвлення не перевищує 0,01 мм. Також слід зазначити, що при нанесенні розчину солей MnSO<sub>4</sub>, CuCl<sub>2</sub>, Co(NO<sub>3</sub>)<sub>2</sub> на сирець відбувається інтенсивна реакція гідратації, в результаті якої поверхня набуває підвищеної шорсткості. Цей ефект можна використовувати для імітації старовинної кладки при реставрації історичних будівель.

Порівняльний аналіз забарвлюючої дії розчинів солей, обраних для досліджень, показав, що дія солі ніколу Ni(NO<sub>3</sub>)<sub>2</sub>·6H<sub>2</sub>O в заданих умовах ведення процесу (вмісту в масі оксиду ферруму, температури випалу виробів) майже не проявляється. Показники світлоти L\* поверхні зразків, просочених розчином Ni(NO<sub>3</sub>)<sub>2</sub>·6H<sub>2</sub>O, збільшуються у порівнянні з керамікою, на яку розчин не наносили. Візуальне порівняння кольору випалених зразків показало, що забарвлююча дія солей збільшується в ряду:



Відмічено, що при використанні солей з однаковим хромофором, але різними кислотними залишками колір отриманих матеріалів знаходиться в одній гамі. Натомість тип солі (нітрат, хлорид, сульфат тощо) впливає на її розчинність і обумовлює концентрацію іонів хромофору у розчині, впливаючи таким чином на інтенсивність забарвлення. Втім за нашими спостереженнями, колір матеріалу визначається переважно катіоном металу (хромофором). Вплив аніонів солей з одним і тим же хромофором проявляється меншою мірою. Так, для зразків, поверхня яких забарвлена солями кобальту, ступінь забарвлення змінюється в ряду:



Характеристики колірності випалених зразків клінкерної кераміки після просочування насиченими розчинами різних солей, визначені за системою CIE-L\*a\*b\*, надано на рис. 2.

Як видно з наданих даних, зміна пічного середовища зі слабкоокислювального на відновлювальне сприяє одержанню клінкерних виробів більш темного кольору. Так, для еталонних зразків, що не просочували розчинами солей, характеристики колірності після випалу змінились наступним чином: від L\*=39,39%, a\*=32,11, b\*=15,86 (у слабкоокислювальному середовищі) до L\*=32,84%, a\*=15,56, b\*=9,53 (у відновлювальному середовищі). В даному випадку зміна цегляно-червоного кольору зразків на коричневий супроводжується суттевим зменшенням показників характеристик колірності.

Аналіз відомостей [15] щодо координат колірності різних відтінків чорного кольору

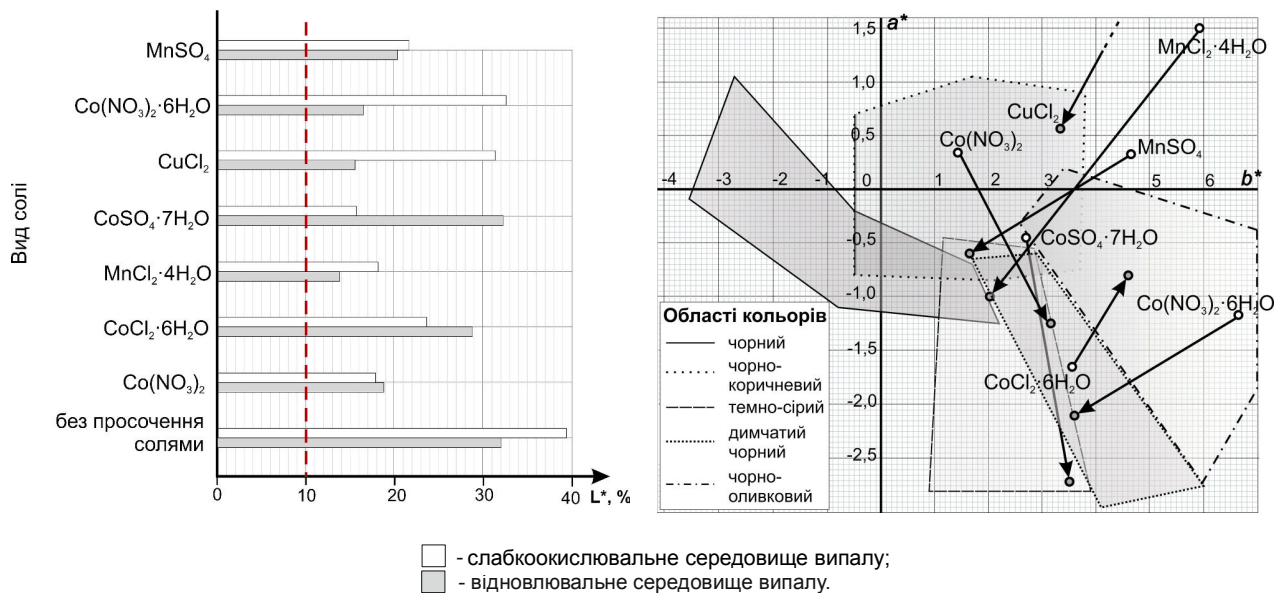


Рис. 2. Характеристики колірності зразків за системою CIE-L<sup>\*</sup>a<sup>\*</sup>b<sup>\*</sup>: а – зміна показника світлоти; б – зміна координат колірності. Діаграма побудована з використанням даних [15]

свідчить про те, що найбільш коректним критерієм, що визначає забарвлення матеріалу у чорний колір, є показник світлоти  $L^*$  (рис. 2,а). При цьому колір візуально сприймається як дійсно чорний в разі, якщо  $L^*<10\%$ . Втім, слід зазначити, що об'єкти чорного кольору можуть мати і більш високе значення світлоти  $L^*$ , але за умови, що обидві координати колірності ( $a^*$  і  $b^*$ ) або принаймні одна з них має від'ємне значення. Зокрема для зразків кераміки з більш високими показниками світлоти ( $L>10\%$ ) можна розрізнати відтінки чорного кольору: чорно-коричневий, димчасто-чорний, темно-сірий, чорно-оливковий, які залежать від комбінації значень координат  $a^*$  і  $b^*$  (рис. 2,б). Як видно з наданих даних, показники світлоти поверхні усіх дослідних зразків дещо перевищують 10%, що вказує на відмінність їх кольору від дійсно чорного та наявність певного відтінку. Координата  $b^*$  для всіх зразків має додатне значення, що надає поверхні клінкерних виробів більш холодного відтінку. Так, для зразків, просочених розчинами солей  $\text{Co}(\text{NO}_3)_2$ ,  $\text{MnSO}_4$ ,  $\text{MnCl}_2 \cdot 4\text{H}_2\text{O}$ , після випалу у слабкоокислюваній атмосфері координата  $a^*$  має додатне значення, тоді як їх випал у відновлювальній атмосфері призводить до зміни його значень на від'ємні. Для зразків, забарвленіх розчином  $\text{CuCl}_2$ , незалежно від складу атмосфери випалу координата  $a^*$  є додатною, відповідно збільшується червона складова кольору, що візуально надає клінкеру більш насищеною чорно-коричневого забарвлення. На-

томість для зразків, просочених кобальтвмісними кристалогідратами, значення координати  $a^*$  є від'ємними як після випалу у слабкоокислювальному, так і у відновлювальному пічному середовищі. Слід також відмітити, що вплив складу пічного середовища на характеристики колірності не є однозначним. Так, наприклад, забарвлююча дія  $\text{CuCl}_2$ , а також мангановмісних солей проявляється при випалі виробів у відновлювальному середовищі, тоді як при використанні розчину  $\text{CoCl}_2 \cdot 6\text{H}_2\text{O}$  та  $\text{Co}(\text{SO}_4)_2 \cdot 7\text{H}_2\text{O}$  суттєво збільшуються значення світлоти поверхні виробів ( $L=29\div32\%$ ), що дозволяє розрізнати чорно-коричневий та чорно-оливковий відтінки кольору.

Найбільш низькі значення координат колірності ( $L=15\div18\%$ ;  $a^*=-1,0\div-2,2$ ;  $b^*=1,6\div3,2$ ) спостерігаються для зразків, випалених у відновлювальному середовищі, зокрема тих, для забарвлення поверхні яких використовували розчини солей  $\text{MnCl}_2 \cdot 4\text{H}_2\text{O}$ ,  $\text{Co}(\text{NO}_3)_2$  та  $\text{Co}(\text{NO}_3)_2 \cdot 6\text{H}_2\text{O}$ . Це дозволило одержати клінкерні керамічні матеріали димчасто-чорного кольору.

Визначення фазового складу зразків, одержаних з використанням солей з різними катіонами-хромофорами після відновлювального випалу за температури 1070°C здійснювали методом рентгенофазового аналізу. Рентгенограми зразків наведені на рис. 3.

За результатами рентгенофазового аналізу встановлено, що у фазовому складі еталонного зразка (рис. 3.1) ідентифіковані фази кварцу

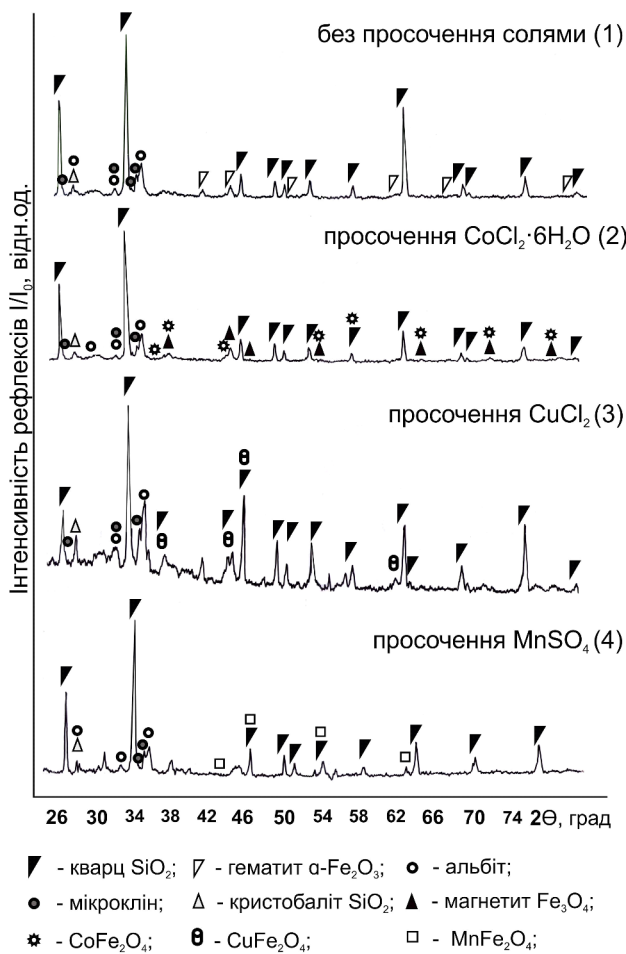


Рис. 3. Рентгенограми зразків керамічного клінкеру, випалених у відновлювальному середовищі

( $d=0,4262; 0,3344; 0,1819$  нм), польових шпатів у вигляді мікрокліну ( $d=0,4217; 0,3301; 0,3247$  нм) і альбіту ( $d=0,3789; 0,3480; 0,3197$  нм), а також гематит ( $d=0,2701; 0,2519; 0,1842$  нм), як основні кольоротвірні фази.

У зразках, просочених солями кобальту, мангансу і купруму (рис. 3), разом з кварцом, мікрокліном і альбітом містяться сполуки шпінельного типу:  $\text{CoFe}_2\text{O}_4$  ( $d=0,2965; 0,2524; 0,1926$  нм);  $\text{CuFe}_2\text{O}_4$  ( $d=0,3003; 0,2521; 0,1627$  нм);  $\text{MnFe}_2\text{O}_4$  ( $d=0,3003; 0,2567; 0,1636$  нм), які утворені внаслідок високотемпературної взаємодії солей кобальту, купруму та мангансу з оксидом феруму, що міститься у складі глинистої сировини. Саме ці сполуки із загальною формулою  $\text{Me}_2\text{Fe}_2\text{O}_4$  є носіями забарвлення клінкеру різних відтінків чорного кольору. Координати колірності зразків, просочених розчинами солей  $\text{CoCl}_2 \cdot 6\text{H}_2\text{O}$ ,  $\text{CuCl}_2$ ,  $\text{MnSO}_4$  та одержаних в умовах відновлювального випалу знаходяться в наступних межах:  $L^*=14 \div 29\%$ ,  $a^*=-0,8 \div -0,6$ ,

$$b^*=1,6 \div 4,7.$$

Вплив солей на міцність поверхневого шару зразків досліджували шляхом визначення мікротвердості на приладі ПМТ-3. Порівняльне оцінювання показників мікротвердості зразків показала, що поверхневе забарвлення клінкерної цегли, одержаної з використанням полімінеральної ферумвмісної глинистої сировини позитивно впливає на твердість поверхні виробів. Встановлено, що мікротвердість зразків збільшується на 15–20% (від 4000 МПа для еталонних зразків до 4500–4700 МПа для зразків, просочених вказаними солями). Механізм поверхневого забарвлення і одночасно зміщення поверхні клінкерної кераміки полягає в утворенні у поверхневому шарі цегли ферошпінелей кобальта, мангансу або купруму, які сприяють формуванню більш щільної структури декоративного поверхневого шару клінкерної цегли.

### Висновки

Дослідження систем фазоутворюючих оксидів  $\text{MeO}-\text{Fe}_2\text{O}_3$  ( $\text{MeO}=\text{CuO}$ ,  $\text{CoO}$ ,  $\text{MnO}$ ) свідчать про можливість спрямованого синтезу ферошпінелей ( $\text{CuFe}_2\text{O}_4$ ,  $\text{CoFe}_2\text{O}_4$ ,  $\text{MnFe}_2\text{O}_4$ ), а також шпінелеподібних твердих розчинів для отримання темнозабарвлених клінкерних виробів за температур 1050–1100°C при використанні полімінеральних глин, що містять не менше 5%  $\text{Fe}_2\text{O}_3$ .

Встановлена доцільність поверхневого забарвлення клінкерної цегли на основі полімінеральної глинистої сировини з підвищеним вмістом  $\text{Fe}_2\text{O}_3$  (5% і більше) шляхом просочування поверхневого шару розчинами солей переходних металів. При використанні розчинів солей кобальту, мангансу, купруму керамічний клінкер набуває чорного кольору, насиченість та відтінки якого залежать від виду хромофору та складу пічного середовища. Одночасно спостерігається зміщення його поверхневого шару: показники мікротвердості підвищуються на 15–20%. Задля збільшення товщини забарвленого поверхневого шару просочування напівфабрикатів варто виконувати після сушіння. Встановлено, що одночасне забарвлення та зміщення керамічних клінкерних виробів, випалених за температури 1070°C, забезпечується за рахунок утворення ферошпінелей із загальною формулою  $\text{MeFe}_2\text{O}_4$ . Для одержання виробів димчасто-чорного кольору рекомендовано використання насичених розчинів  $\text{MnCl}_2 \cdot 4\text{H}_2\text{O}$ ,  $\text{Co}(\text{NO}_3)_2$  та  $\text{Co}(\text{NO}_3)_2 \cdot 6\text{H}_2\text{O}$ . Відновлювальний випал забезпечує одержання виробів більш насиченого чорного кольору.

## СПИСОК ЛИТЕРАТУРИ

1. Хоменко Е.С., Пурдик А.В. Особенности формирования микроструктуры клинкерной керамики // Стекло и керамика. – 2017. – № 2. – С.15-19.
2. Огородник И.В., Оксамит Т.В. Использование ниобий–магниевого концентрата как пигмента для керамических глазурей широкой цветовой гаммы // Строительные материалы и изделия. – 2016. – № 2. – С.54-57.
3. Зубехин А.В., Яценко Н.Д., Веревкин К.А. Влияние окислительно–восстановительных условий обжига на фазовый состав железа и цвет керамического кирпича // Строительные материалы. – 2011. – № 8. – С.8-12.
4. Heilemann G. Reduktionsbrand fur Vormauerziegel und Pflasterklinker // Keramische Zeitschrift. – 2003. – Vol.55. – No. 2. – P.100-103.
5. Trinks W. Industrial furnaces. – New Jersey: John Wiley & Sons Inc. Hoboken, 2003. – Vol.1. – 473 p.
6. Захарченко П.В., Варшавець П.Г. Сучасні методи захисту будівельних матеріалів від зовнішніх агресивних факторів // Будівельні матеріали, вироби та санітарна техніка. – 2012. – № 45. – С.7-12.
7. Петряков В.Г., Гильмутдинова Р.А. К вопросу об улучшении потребительских свойств керамического кирпича, модифицированного органоминеральной добавкой // Башкирский химический журнал. – 2009. – № 1. – С.78-81.
8. Influence of mineralogy and firing temperature on the porosity of bricks / Cultrone G., Sebastian E., Elert K., et al. // Journal of the European Ceramic Society. – 2004. – Vol.24. – P.547-564.
9. Abu Bakar B.H., Wan Ibrahim M.H., Megat Johari M.A. A review: durability of fired clay brick masonry wall due to salt attack // International Journal of Integrated Engineering (Issue on Civil and Environmental Engineering). – 2009. – Vol.1. – No. 2. – P.111-127.
10. Белый Я.И., Зайчук А.В. Керамические пигменты для получения глазурей черного цвета // Стекло и керамика. – 2005. – № 9. – С.28-30.
11. Диаграммы состояния силикатных систем, Справочник / Н.А. Торопов, В.П. Барзаковский, В.В. Лапин, Н.Н. Курцева. – Л.: Наука, 1969. – Т.1. – 822 с.
12. Домасев М.В., Гнатюк С.П. Цвет, управление цветом, цветовые расчеты и измерения. – С.-Пб.: Издательский дом «Питер», 2008. – 224 с.
13. McCall J. Interpretive techniques for microstructural analysis. – New York–London: Springer Science & Business Media, 2012. – 202 p.
14. Гороновский И.Т., Назаренко Ю.П., Некрач Е.Ф. Краткий справочник по химии. – К.: Наукова думка, 1987. – 829 с.
15. Klein G.A. Industrial color physics. – New York–London: Springer Science & Business Media, 2010. – 509 p.

Надійшла до редакції 28.08.2018

## SURFACE COLORING WITH SOLUTIONS OF SALTS OF DENSELY BAKED CERAMIC MATERIALS

O.Yu. Fedorenko, L.O. Bilostotska, K.B. Bohdanova,  
K.S. Polukhina, L.V. Pavlova

National Technical University «Kharkiv Polytechnic Institute»,  
Kharkiv, Ukraine

The article is devoted to the main features of surface painting of clinker ceramic products by their impregnation with solutions of Co, Mn and Cu metal salts. The intensity of the ceramics color is determined by the type of chromophore (metal cation), the composition and solubility of the salts, the method of solution application and the composition of the furnace environment. It is established that the coloring of clinker ceramic surface is associated with the formation of  $\text{CoFe}_2\text{O}_3$ ,  $\text{MnFe}_2\text{O}_3$ ,  $\text{CuFe}_2\text{O}_3$  spinel phases in the course of the firing of products at 1070°C. An increase in the microhardness (by 15–20%) indicates that newly formed crystallines contribute to the consolidation and hardening of the surface layer. The analysis of chromaticity coordinates of dark-colored ceramic samples in the system CIE-L\*a\*b\* showed that the color is perceived as really black if the brightness index  $L<10\%$ . If  $L>10\%$ , then the following tints are visually perceptible: black-brown, smoky-black and black-olive. In order to fabricate clinker products of saturated smoky-black color, it is recommended to impregnate the surfaces of dried semi-finished products with saturated solutions of salts  $\text{MnCl}_2 \cdot 4\text{H}_2\text{O}$ ,  $\text{Co}(\text{NO}_3)_2$  or  $\text{Co}(\text{NO}_3)_2 \cdot 6\text{H}_2\text{O}$  and perform the firing of products under the conditions of a reducing environment.

**Keywords:** clinker bricks; surface staining; spinel phases; hardening; facial surface; reducing medium; color coordinates.

## REFERENCES

1. Khomenko E.S., Purdik A.V. Particulars of microstructure formation in clinker ceramic. *Glass and Ceramics*, 2017, vol. 74, pp. 48-51.
2. Ogorodnik I.V., Oksamit T.V. Ispolzovanie niobii–magnievogo kontsentrata kak pigmenta dl'ya keramicheskikh glazurei shirokoi tsvetovoї gammы [The use of niobium-magnesium concentrate as a pigment for ceramic glazes of a wide range of colors]. *Stroitelnye Materialy i Izdeliya*, 2016, no. 2, pp. 54-57. (in Russian).
3. Zubekhin A.V., Yatsenko N.D., Verevkin K.A. Vliyanie okislitel'no-vosstanovitel'nykh uslovii obzhiga na fazovyи sostav zheleza i tsvet keramicheskogo kirkicha [Influence of redox oxidation conditions on the phase composition of iron and the color of ceramic bricks]. *Stroitelnye Materialy*, 2011, no. 8, pp. 8-12. (in Russian).
4. Heilemann G. Reduktionsbrand fur Vormauerziegel und Pflasterklinker. *Keramische Zeitschrift*, 2003, vol. 55, pp. 100-103. (in German).
5. Trinks W., Mawhinney M.H., Shannon R.A., Reed R.J., Garvey J.R., *Industrial furnaces*. John Wiley & Sons, Inc. Hoboken, New Jersey, 2004. 473 p.
6. Zaharchenko P.V., Varshavets P.G. Suchasni metody zakhystu budivelnykh materialiv vid zovnishnih agresyvnykh faktoriv [Modern methods of protection of building materials from external aggressive factors]. *Budivelni Materialy, Vyroby ta Sanitarna Tekhnika*, 2012, no. 45, pp. 7-12. (in Ukrainian).
7. Petryakov V.G., Gilmutdinova R.A. K voprosu ob uluchshenii potrebitelskikh svoistv keramicheskogo kirkicha,

modifitsirovannogo organomineralnoi dobavkoi [On the issue of improving the consumer properties of ceramic bricks modified with an organomineral additive]. *Bashkirskiy Khimicheskii Zhurnal*, 2009, no. 1, pp. 78-81. (in Russian).

8. Cultrone G., Sebastian E., Elert K., Jose de la Torre M., Cazalla O., Rodriguez-Navarro C. Influence of mineralogy and firing temperature on the porosity of bricks. *Journal of the European Ceramic Society*, 2004, vol. 24, pp. 547-564.

9. Abu Bakar B.H., Wan Ibrahim M.H., Megat Johari M.A. A review: durability of fired clay brick masonry wall due to salt attack. *International Journal of Integrated Engineering (Issue on Civil and Environmental Engineering)*, 2009, vol. 1, no. 2, pp. 111-127.

10. Belyi Ya.I., Zaichuk A.V. Ceramic pigments for producing black glazes. *Glass and Ceramics*, 2005, vol. 62, pp. 290-292.

11. Toropov N.A., Barzakovskiy V.P., Lapin V.V., Kurtseva N.N., *Diagrammy sostoyaniya silikatnykh sistem, spravochnik* [Diagrams of the state of silicate systems: a handbook]. Nauka, Leningrad, 1969. vol. 1, 822 p. (in Russian).

12. Domasev M.V., Gnatyuk S.P., *Tsvet, upravlenie tsvetom, tsvetovyye raschety i izmereniya* [Color, color management, color calculations and measurements]. Piter Publishers, Sankt-Petersburg, 2008. 224 p. (in Russian).

13. McCall J., *Interpretive techniques for microstructural analysis*. Springer Science & Business Media, New York-London, 2012. 202 p.

14. Goronovskiy I.T., Nazarenko Yu.P., Nekryach E.F., *Kratkii spravochnik po khimii* [Brief reference book on chemistry]. Naukova Dumka, Kyiv, 1987. 829 p. (in Russian).

15. Klein G.A., *Industrial color physics*. Springer Science & Business Media, New York-London, 2010. 509 p.